

УДК 676. 024. 61

**С.Н. Вихарев**

Уральский государственный лесотехнический университет

Вихарев Сергей Николаевич родился в 1958 г., окончил в 1980 г. Уральский государственный лесотехнический институт, кандидат технических наук, доцент кафедры машин и оборудования ЦБП УГЛТУ. Имеет около 150 печатных работ в области динамики оборудования ЦБП.  
E-mail: cbp200558@mail.ru



## КОНТАКТНОЕ ВЗАИМОДЕЙСТВИЕ НОЖЕЙ ГАРНИТУРЫ МЕЛЬНИЦ С ВОЛОКНИСТЫМ ПОЛУФАБРИКАТОМ

Рассмотрена механика контактного взаимодействия ножей гарнитуры с учетом специфических особенностей волокнистой прослойки. Получена математическая модель, связывающая параметры контакта ножей гарнитуры и волокнистой прослойки.

*Ключевые слова:* контактное взаимодействие, ножи, волокнистая прослойка.

В механике деформируемого твердого тела контактное взаимодействие является одним из ведущих направлений. Исследование модели контактного взаимодействия гарнитуры актуально в связи с внедрением новых материалов и технологий, предъявлением новых требований к условиям и срокам эксплуатации гарнитуры. Научный интерес к этой проблеме обусловлен многообразием процессов и явлений, протекающих при размоле в ножевых мельницах. Известно много работ Ю.Д. Алашкевича, В.Н. Гончарова, Е.Е. Савицкого, В.И. Ковалева и др., посвященных этой проблеме.

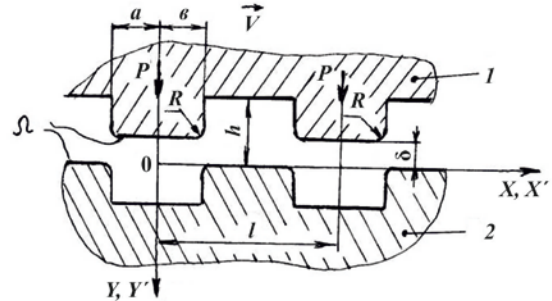
Цель работы – исследование контактного взаимодействия ножей гарнитуры с учетом специфических особенностей волокнистой прослойки.

Рассмотрим скольжение абсолютно жестких ножей по поверхности полуфабриката (рис. 1). Ножи ротора скользят относительно статора со скоростью  $\vec{V}$ . Форма рабочей поверхности контакта ножей описывается периодической функцией  $f(x, z)$ . Введем неподвижную систему координат  $x', y', z'$  так, что ее начало в момент времени  $t = 0$  будет расположено по оси ножа. Ось  $x'$  направлена вдоль вектора скорости  $\vec{V}$ , а ось  $y'$  – в глубь волокнистой прослойки. Также введем систему координат  $x, y, z$ , связанную с ротором и двигающуюся со скоростью  $\vec{V}$ .

Будем считать, что движение установившееся. В зоне контакта  $\Omega$  выполняется условие

$$w(x, z) = \delta + f(x, z); \quad (x, z) \in \Omega,$$

Рис. 1. Схема контактного взаимодействия ножей: 1 – ротор; 2 – статор



где  $w(x, z)$  – нормальные перемещения границы волокнистой прослойки вследствие ее деформирования;

$\delta$  – межножевой зазор.

Контактное давление, возникающее при перекрещивании ножей ротора и статора  $p(x, z)$  вне площадок периодического контакта  $(-a(z), b(z))$  равно нулю:

$$p(x, z) = 0; (x, z) \notin \Omega; p(-a(z)) = p(b(z)) = 0. \quad (1)$$

Нормальные перемещения и давление по координате  $x$  удовлетворяют условиям периодичности на поверхности  $(x, z)$ :

$$w(x, z) = w(x + l, z); p(x, z) = p(x + l, z), \quad (2)$$

где  $l$  – шаг ножей гарнитуры.

Уравнение равновесия для каждого ножа:

$$\iint_{\Omega} p(x, z) dx dz = P, \quad (3)$$

где  $P$  – нагрузка на один нож.

В качестве модели волокнистой прослойки (вязкоупругого слоя между ножами) используется модель Максвелла–Кельвина [1]. Для этой модели нормальные перемещения слоя  $w(x, z)$  связаны с давлением  $p(x, z)$  следующим соотношением [3]:

$$w(x', z', t) + T_{\varepsilon} \frac{dw(x', z', t)}{dt} = \frac{(1-\nu^2)h}{E_e} \left( p(x', z', t) + T_{\sigma} \frac{dp(x', z', t)}{dt} \right), \quad (4)$$

где  $T_{\varepsilon}$ ,  $T_{\sigma}$  – время релаксации и последействия;

$\nu$  – коэффициент Пуассона;

$E_e$  – длительный модуль упругости.

Отношение толщины слоя к приведенному модулю  $h/E^*$  характеризует податливость слоя волокнистой прослойки, а мгновенный модуль упругости  $E_1$  определяется соотношением  $T_{\varepsilon} E_e / T_{\sigma}$ . Приведенный модуль

$$E^* = \frac{E_e}{1-\nu^2}. \quad (5)$$

В системе координат  $(0, x, y, z)$ , связанной с движением ножей  $(x = x' - Vt; y = y'; z = z'; V = \omega r)$ , компоненты вектора смещений  $u_i$  и тензора напряжений  $\sigma_{ij}$  не зависят явно от времени и являются функциями координат  $(x, y, z)$ . Компоненты тензоров деформаций и напряжений в дви-

жущейся  $(0, x, y, z)$  и неподвижной  $(0, x', y', z')$  системах координат связаны между собой следующими уравнениями [2]:

$$\begin{aligned} \varepsilon'_{ij} + T_\varepsilon \frac{\partial \varepsilon'_{ij}}{\partial t} &= \varepsilon_{ij} - T_\varepsilon V \frac{\partial \varepsilon_{ij}}{\partial x} = \varepsilon^*_{ij}; \\ \sigma'_{ij} + T_\sigma \frac{\partial \sigma'_{ij}}{\partial t} &= \sigma_{ij} - T_\sigma V \frac{\partial \sigma_{ij}}{\partial x} = \sigma^*_{ij}; \\ u_i - T_\varepsilon V \frac{\partial u_i}{\partial x} &= u^*_i; \\ p(x) - T_\sigma V \frac{\partial p(x)}{\partial x} &= p^*(x). \end{aligned} \quad (6)$$

Функции  $\varepsilon^*_{ij}$ ,  $\sigma^*_{ij}$  удовлетворяют эквивалентным уравнениям совместности деформаций.

В подвижной системе координат соотношение (4) имеет следующий вид:

$$w(x, z) - T_\varepsilon V \frac{dw(x, z)}{dx} = \frac{h}{E^*} \left( p(x, z) - T_\sigma V \frac{dp(x, z)}{dx} \right). \quad (7)$$

Для решения трехмерной контактной задачи воспользуемся методом полос [4]. Разобьем зону контакта ножей на  $2N$  тонких полос, параллельных направлению скольжения. Для каждой полосы будем решать соответствующую плоскую периодическую задачу, пренебрегая при этом их взаимодействием. На рис. 2 изображены две соседние плоскости контакта и характерная полоса шириной  $\Delta z$  с номером  $j$ , находящиеся на расстоянии  $z_j$  от оси  $x$  ( $z_{\max}$  – полуширина площадки контакта в направлении оси  $oz$ ).

Условия периодичности в каждой полосе:

$$w_j(x, z_j) = w_j(x + l, z_j); \quad p_j(x, z_j) = p_j(x + l, z_j). \quad (8)$$

Нормальные перемещения границы вязкоупругого слоя в  $j$ -й полосе можно определить по условию

$$w_j(x, z_j) = \delta - \frac{1}{2R} (x^2 + z_j^2); \quad x \in \Omega, \quad (9)$$

где  $\delta$  – зазор.

Введем безразмерные координаты и переменные:

$$\begin{aligned} \hat{x} = \frac{x}{R}; \quad \hat{z} = \frac{z}{R}; \quad \hat{w} = \frac{w}{R}; \quad \hat{\delta} = \frac{\delta}{R}; \quad \hat{l} = \frac{l}{R}; \quad \hat{p}_j = \frac{2p_j}{R} \cdot \frac{h}{E^*}; \\ \hat{P} = \frac{2P}{R^3} \frac{h}{E^*}; \quad \zeta = \frac{2a_H}{T_\sigma V}; \quad \hat{a}_H = \frac{2a_H}{R}; \end{aligned} \quad (10)$$

где  $a_H$  – характеризует приложенную нагрузку,  $a_H = \sqrt[3]{\frac{3PR}{4E^*}}$ .

Уравнение (9) и производная этого уравнения по координате  $x$  преобразуют соотношение (7):

$$\hat{p}_j(\hat{x}, \hat{z}_j) - \frac{\hat{a}_H}{\zeta} \frac{d\hat{p}_j(\hat{x}, \hat{z}_j)}{d\hat{x}} = 2\hat{\delta} - \hat{x}^2 - \hat{z}_j^2 + \frac{2c\hat{a}_H}{\zeta} \hat{x}. \quad (11)$$

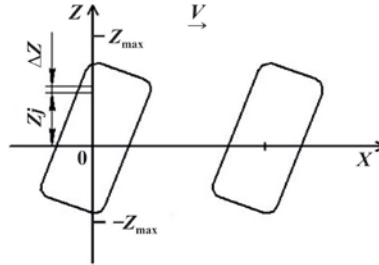


Рис. 2 Метод полос

Решая уравнение (11), получаем распределение давлений в  $j$ -й полосе зоны контакта:

$$\hat{p}_j(\hat{x}, \hat{z}_j) = \frac{\zeta}{\hat{a}_n} \int_{-\hat{a}_j}^{\hat{x}} e^{\frac{(\hat{x}-\xi)\zeta}{\hat{a}_n}} \left( \xi^2 - \frac{2c\hat{a}_n}{\zeta} \xi - 2\hat{\delta} + \hat{z}_j^2 \right) d\xi. \quad (12)$$

При этом одно из граничных условий на конце площадки при  $x = a_j$  будет выполнено как

$$\hat{p}_j(-\hat{a}_j) = 0; \quad -\hat{a}_j = \hat{a}(\hat{z}_j).$$

Интегрируя выражение (12), получаем

$$\hat{p}_j(\hat{x}, \hat{z}_j) = e^{\frac{(\hat{x}+\hat{a}_j)\zeta}{\hat{a}_n}} (\hat{a}_j^2 - c_1\hat{a}_j - c_{2j}) - \hat{x}^2 - c_1\hat{x} + c_{2j}, \quad (13)$$

где  $c_1 = \frac{2\hat{a}_n(1-c)}{\zeta}$ ;  $c_{2j} = 2\hat{\delta} - \hat{z}_j^2 - 2\hat{a}_n^2(1-c)/\zeta$ .

В выражение для контактного давления (13) входит неизвестная граница площадки контакта  $a_j = a(z_j)$ . Запишем второе граничное условие (1) для давления на набегающей стороне области контакта  $b_j = b(z_j)$  и соотношение (11) на ненагруженных участках  $p_j(x, z_i) = 0$  при  $x \in (b_j, l - a_j)$ :

$$\hat{p}_j(\hat{b}_j) = e^{\frac{(\hat{b}_j+\hat{a}_j)\zeta}{\hat{a}_n}} (\hat{a}_j^2 - c_1\hat{a}_j - c_{2j}) - \hat{b}_j^2 - c_1\hat{b}_j + c_{2j} = 0; \quad (14)$$

$$\hat{w}_j(\hat{x}, \hat{z}_i) - \frac{a_n c}{\zeta} \frac{d\hat{w}_j(\hat{x}, \hat{z}_j)}{d\hat{x}} = 0; \quad \hat{x} \in (\hat{b}_j, \hat{l} - \hat{a}_j). \quad (15)$$

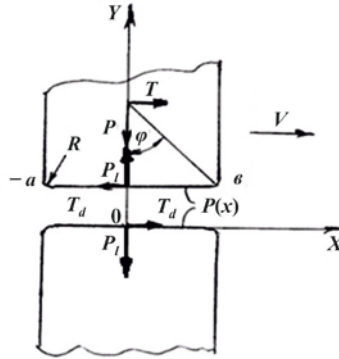
Решением уравнения (15) является функция

$$\hat{w}_j(\hat{x}, \hat{z}_j) = \hat{w}_{0j} e^{\hat{x}\zeta/ca_n}; \quad \hat{x} \in (b_j, \hat{l} - \hat{a}_j).$$

Так как нормальные перемещения непрерывны, на границе зоны контакта при  $x = l - a_j$ ,  $x = b_j$  и с учетом (9) можно записать

$$\begin{aligned} 2\hat{w}_{0j} e^{(\hat{l}-\hat{a}_j)\zeta/ca_n} &= 2\hat{\delta} - \hat{z}_j^2 - \hat{a}_j^2; \\ 2\hat{w}_{0j} e^{\hat{b}_j\zeta/ca_n} &= 2\hat{\delta} - \hat{z}_j^2 - \hat{b}_j^2. \end{aligned}$$

Рис. 3. Схема сил, действующих на ножи при размоле



Исключая постоянную  $\widehat{w}_{0j}$  из последних уравнений и преобразуя (14), получаем систему уравнений для определения границ зоны контакта  $a_j, b_j$  в каждой полосе:

$$\begin{aligned} e^{\frac{(\widehat{a}_j + \widehat{b}_j - l)\zeta}{c\widehat{a}_n}} (2\widehat{\delta} - \widehat{z}_i^2 - \widehat{a}_j^2) &= 2\widehat{\delta} - \widehat{z}_j^2 - \widehat{b}_j^2; \\ e^{\frac{(\widehat{a}_j + \widehat{b}_j)\zeta}{c\widehat{a}_n}} (\widehat{a}_j^2 - c_1\widehat{a}_j - c_2j) &= \widehat{b}_j^2 - c_1\widehat{b}_j - c_2j. \end{aligned} \quad (16)$$

Система уравнений (16) и соотношение (13) позволяют найти распределение давлений и границу зоны контакта в  $j$ -й полосе при зазоре  $\delta$ . Нагрузка на нож определяется уравнением (3) и преобразуется к следующему виду:

$$\widehat{P} = 2 \int_0^{(2\delta)^{1/2}} \int_{-\widehat{a}(z)}^{\widehat{b}(z)} \widehat{p}(\widehat{x}, \widehat{z}) d\widehat{x} d\widehat{z} = 2 \sum_{j=1}^N \Delta\widehat{z} \int_{-\widehat{a}_j}^{\widehat{b}_j} \widehat{p}_j(\widehat{x}, \widehat{z}_j) d\widehat{x}, \quad (17)$$

где  $(2\delta)^{1/2}$  – полуширина площадки контакта в направлении оси  $oz$ .

Схема сил, действующих на нож, показана на рис. 3 (где  $T_d, P_l$  – тангенсальная и нормальная составляющие силы реакции волокнистой прослойки на нож).

Для площадки контакта  $(a + b)$  ножей гарнитуры имеем

$$\begin{aligned} \widehat{P}_e &= 2 \sum_{j=1}^N \Delta\widehat{z} \int_{-\widehat{a}_j}^{\widehat{b}_j} \widehat{p}_j(\widehat{x}, \widehat{z}_j) \cos \varphi(\widehat{x}) d\widehat{x}; \\ \widehat{T}_d &= 2 \sum_{j=1}^N \Delta\widehat{z} \int_{-\widehat{a}_j}^{\widehat{b}_j} \widehat{p}_j(\widehat{x}, \widehat{z}_j) \sin \varphi(\widehat{x}) d\widehat{x}; \\ \widehat{M} &= \iint_{\Omega} \widehat{x} \widehat{p}(\widehat{x}, \widehat{z}) d\widehat{x} d\widehat{z}, \end{aligned} \quad (18)$$

где  $\widehat{M}$  – момент сопротивления движению ножа.

Анализ выражения (13) и системы уравнений (16) показывает, что контактные характеристики для ножей гарнитуры зависят от безразмерных параметров: относительного зазора  $\frac{\delta}{R}$ ; свойств волокнистой прослойки  $c = \frac{T_\varepsilon}{T_\sigma}$ ; па-

раметров, характеризующих нагрузку  $\hat{P} = \frac{2P}{R^3} \frac{h}{E^*}$ ; аналога числа Деборы  $\zeta = \frac{2a_n}{T_{\sigma} V}$ ; относительного шага между ножами гарнитуры  $\frac{l}{R}$ .

Результаты проведенных теоретических исследований подтверждены многочисленными экспериментами.

#### СПИСОК ЛИТЕРАТУРЫ

1. *Гончаров В.Н.* Теоретические основы размола волокнистых материалов в ножевых мельницах: автореф. дис. ... д-ра техн. наук. Л., 1990. 31 с.
2. *Горячева И.Г.* Контактная задача качения вязкоупругого цилиндра по основанию из того же материала // ПММ. 1973.(37), № 5. С. 877–885.
3. *Джонсон К.* Механика контактного взаимодействия. М.: Мир, 1989. 509 с.
4. *Haines D.J., Ollerton E.* Contact stress distributions on elliptical contact surfaces subjected to radial and tangential forces// Proc. Inst. Mech. Engrs. 1963. (177), 95.

Поступила 17.01.12

*S.N. Vikharev*

The Ural State Forest Engineering University

#### **Contact Interaction of Mill Blades with Wood Pulp**

Mechanics of contact interaction of blades is considered in view of specific features of the fibrous layer. A mathematical model connecting parameters of contact of blades and a fibrous layer has been developed.

*Key words:* contact interaction, blades, fibrous layer.

---